

(19) 日本国特許庁(JP)

## (12) 公開特許公報(A)

(11) 特許出願公開番号

特開2021-156662

(P2021-156662A)

(43) 公開日 令和3年10月7日(2021.10.7)

| (51) Int.Cl.         | F 1                | テーマコード (参考) |
|----------------------|--------------------|-------------|
| GO1T 1/167 (2006.01) | GO1T 1/167 C 2G188 |             |
| GO1T 1/17 (2006.01)  | GO1T 1/17 J        |             |
| GO1T 1/00 (2006.01)  | GO1T 1/167 D       |             |
|                      | GO1T 1/00 D        |             |

審査請求 未請求 請求項の数 9 O L (全 18 頁)

|           |                            |          |   |
|-----------|----------------------------|----------|---|
| (21) 出願番号 | 特願2020-55379 (P2020-55379) | (71) 出願人 | 505374783                                       |
| (22) 出願日  | 令和2年3月26日 (2020.3.26)      |          | 国立研究開発法人日本原子力研究開発機構<br>茨城県那珂郡東海村大字舟石川765番地<br>1 |
|           |                            | (74) 代理人 | 100214260<br>弁理士 相羽 昌孝                          |
|           |                            | (74) 代理人 | 100139114<br>弁理士 田中 貞嗣                          |
|           |                            | (74) 代理人 | 100139103<br>弁理士 小山 卓志                          |
|           |                            | (74) 代理人 | 100119220<br>弁理士 片寄 武彦                          |

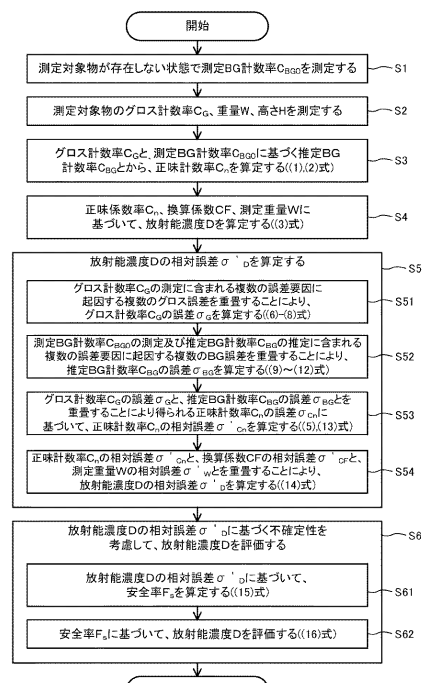
最終頁に続く

(54) 【発明の名称】放射能評価方法、放射能評価プログラム及び放射能評価装置

## (57) 【要約】

【課題】評価の保守性の観点から放射能濃度を適切に評価することができる放射能評価方法を提供する。

【解決手段】放射能評価方法は、測定対象物の放射能濃度を算定する放射能濃度算定工程(S4)と、放射能濃度の相対誤差 $\sigma_{\text{D}}$ を算定する誤差算定工程(S5)と、放射能濃度の相対誤差 $\sigma_{\text{D}}$ に基づく不確定性を考慮して放射能濃度を評価する評価工程(S6)とを含み、誤差算定工程(S5)は、グロス計数率の測定プロセスに起因する複数のグロス誤差を重畠してグロス計数率の誤差 $\sigma_{\text{G}}$ を算定するグロス誤差算定工程(S51)と、測定BG計数率の測定プロセス及び推定BG計数率の推定プロセスに起因する複数のBG誤差を重畠して推定BG計数率の誤差 $\sigma_{\text{BG}}$ を算定するBG誤差算定工程(S52)と、グロス計数率の誤差 $\sigma_{\text{G}}$ と、推定BG計数率の誤差 $\sigma_{\text{BG}}$ の誤差 $\sigma_{\text{BG}}$ とを重畠することにより得られる正味計数率 $C_n$ の誤差 $\sigma_{\text{n}}$ に基づいて、正味計数率 $C_n$ の相対誤差 $\sigma_{\text{n}}$ を算定する(S53)式



【選択図】 図 3

**【特許請求の範囲】****【請求項 1】**

測定対象物の放射能濃度（D）を評価する放射能評価方法であって、  
放射線測定装置により測定されたグロス計数率（C<sub>G</sub>）、及び、前記放射線測定装置により測定された測定BG計数率（C<sub>BG0</sub>）に基づく推定BG計数率（C<sub>BG</sub>）から得られる前記測定対象物の正味計数率（C<sub>n</sub>）と、前記正味計数率（C<sub>n</sub>）を前記放射能濃度（D）に変換する換算係数（C<sub>F</sub>）と、前記測定対象物の測定重量（W）とに基づいて、前記放射能濃度（D）を算定する放射能濃度算定工程（S4）と、

前記正味計数率（C<sub>n</sub>）の相対誤差（'c<sub>n</sub>）と、前記換算係数（C<sub>F</sub>）の相対誤差（'c<sub>F</sub>）と、前記測定重量（W）の相対誤差（'w）とを重畳することにより前記放射能濃度（D）の相対誤差（'d）を算定する誤差算定工程（S5）と、

前記放射能濃度（D）の相対誤差（'d）に基づく不確定性を考慮して前記放射能濃度（D）を評価する評価工程（S6）とを含み、

前記誤差算定工程（S5）は、

前記グロス計数率（C<sub>G</sub>）の測定に含まれる複数の誤差要因に起因する複数のグロス誤差を重畳することにより、前記グロス計数率（C<sub>G</sub>）の誤差（c<sub>G</sub>）を算定するグロス誤差算定工程（S51）と、

前記測定BG計数率（C<sub>BG0</sub>）の測定及び前記推定BG計数率（C<sub>BG</sub>）の推定に含まれる複数の誤差要因に起因する複数のBG誤差を重畳することにより、前記推定BG計数率（C<sub>BG</sub>）の誤差（c<sub>BG</sub>）を算定するBG誤差算定工程（S52）と、

前記グロス計数率（C<sub>G</sub>）の誤差（c<sub>G</sub>）と、前記推定BG計数率（C<sub>BG</sub>）の誤差（c<sub>BG</sub>）とを重畳することにより得られる正味計数率（C<sub>n</sub>）の誤差（c<sub>n</sub>）に基づいて、前記正味計数率（C<sub>n</sub>）の相対誤差（'c<sub>n</sub>）を算定する正味計数率誤差工程（S53）とを含む、

ことを特徴とする放射能評価方法。

**【請求項 2】**

前記複数のBG誤差は、少なくとも、

前記放射線測定装置が設置された作業環境における雰囲気放射線量の変動に起因する誤差を含む、

ことを特徴とする請求項1に記載の放射能評価方法。

30

**【請求項 3】**

前記BG誤差算定工程は、

下記の(12)式により前記推定BG計数率（C<sub>BG</sub>）の誤差（c<sub>BG</sub>）を算定する、

ことを特徴とする請求項2に記載の放射能評価方法。

30

## 【数1】

$$\sigma_{C_{BG}} \approx C_{BG} \times \sqrt{(r_1)^2 + \left( \frac{\sqrt{C_{BG0} \times d \times t_2}}{C_{BG0} \times d \times t_2} \right)^2 + (\sigma'_{E_{BG}})^2} \quad \cdots (12)$$

ここで、

$\sigma_{C_{BG}}$ ：推定BG計数率 $C_{BG}$ の誤差

$C_{BG0}$ ：測定対象物が存在しない状態で測定された測定BG計数率 [cps]

$C_{BG}$ ：測定対象物が存在する状態でのBG計数率として推定された推定BG計数率 [cps]

$r_1$ ：BG変動に起因する相対誤差

$d$ ：検出器個数

$t_2$ ：BG計数率測定時間 [s]

$\sigma'_{E_{BG}}$ ：作業環境における雰囲気放射線量の変動に起因する推定BG計数率 $C_{BG}$ の相対誤差である。

## 【請求項4】

前記複数のグロス誤差は、少なくとも、

走査型の前記放射線測定装置により前記測定対象物が走査されるときの走査速度の変動に起因する誤差を含む、

ことを特徴とする請求項1乃至請求項3のいずれか一項に記載の放射能評価方法。

20

## 【請求項5】

前記グロス誤差算定工程は、

下記の(8)式により前記グロス計数率( $C_G$ )の誤差( $\sigma_{C_G}$ )を算定する、

ことを特徴とする請求項4に記載の放射能評価方法。

## 【数2】

$$\sigma_{C_G} = C_G \times \sqrt{\left( \frac{\sqrt{C_G \times d \times t_1}}{C_G \times d \times t_1} \right)^2 + (\sigma'_{f})^2} \quad \cdots (8)$$

ここで、

$\sigma_{C_G}$ ：グロス計数率 $C_G$ の誤差

$C_G$ ：グロス計数率 [cps]

$d$ ：検出器個数

$t_1$ ：グロス計数率測定時間 [s]

$\sigma'_{f}$ ：走査速度に起因するグロス計数率 $C_G$ の相対誤差

である。

## 【請求項6】

40

前記評価工程は、

前記放射能濃度(D)の相対誤差( $\sigma'_D$ )に基づいて、前記放射能濃度(D)における不確定性を考慮した安全率( $F_s$ )を算定し、当該安全率( $F_s$ )を用いて前記放射能濃度(D)を評価する、

ことを特徴とする請求項1乃至請求項5のいずれか一項に記載の放射能評価方法。

## 【請求項7】

前記評価工程は、

下記の(15)式により前記安全率( $F_s$ )を算定する、

ことを特徴とする請求項6に記載の放射能評価方法。

**【数 3】**

$$F_s \geq \frac{1}{1-k \times \sigma'_{\text{D}}} \quad \cdots (15)$$

ここで、

$F_s$  : 安全率

$\sigma'_{\text{D}}$  : 放射能濃度Dの相対誤差

k : 安全係数

である。

**【請求項 8】**

コンピュータに、請求項1乃至請求項7のいずれか一項に記載の放射能評価方法に含まれる各工程を実行させる、

ことを特徴とする放射能評価プログラム。

**【請求項 9】**

請求項1乃至請求項7のいずれか一項に記載の放射能評価方法に含まれる各工程を実行する放射能評価処理部を備える、

ことを特徴とする放射能評価装置。

**【発明の詳細な説明】**

20

**【技術分野】****【0001】**

本発明は、放射能評価方法、放射能評価プログラム及び放射能評価装置に関する。

**【背景技術】****【0002】**

従来、測定対象物から放射される放射線の計数率を測定し、測定対象物の汚染度を評価することが行われている。例えば、特許文献1には、検査物から放射される放射線の計数率と、バックグラウンド計数率とを測定し、バックグラウンド計数率を基準として、検査物の計数率を表示する放射能スクリーニング装置が開示されている。そして、特許文献1には、放射線の計数率は統計誤差を含むものであるから、所定の時間間隔で平均化を行うことが開示されている。

30

**【先行技術文献】****【特許文献】****【0003】****【特許文献1】特開2014-77747号公報****【発明の概要】****【発明が解決しようとする課題】****【0004】**

特許文献1には、上述したように、放射線の計数率が統計誤差を含むものであることが開示されている。しかし、放射線の計数率に含まれる統計誤差に対して平均化を行うことを示唆するに止まることから、放射能の評価の保守性を担保するには不十分であるものと認められる。

40

**【0005】**

本発明は、このような事情に鑑みてなされたものであって、評価の保守性の観点から放射能濃度を適切に評価することができる放射能評価方法、放射能評価プログラム及び放射能評価装置を提供することを目的とする。

**【課題を解決するための手段】****【0006】**

本発明は、上記課題を解決するものであって、本発明の一実施形態に係る放射能評価方法は、

放射線測定装置により測定されたグロス計数率(C<sub>G</sub>)、及び、前記放射線測定装置に

50

より測定された測定 BG 計数率 ( $C_{BG0}$ ) に基づく推定 BG 計数率 ( $C_{BG}$ ) から得られる前記測定対象物の正味計数率 ( $C_n$ ) と、前記正味計数率 ( $C_n$ ) を前記放射能濃度 ( $D$ ) に変換する換算係数 ( $C_F$ ) と、前記測定対象物の測定重量  $W$  とに基づいて、前記放射能濃度 ( $D$ ) を算定する放射能濃度算定工程と、

前記正味計数率 ( $C_n$ ) の相対誤差 ( $'_{Cn}$ ) と、前記換算係数 ( $C_F$ ) の相対誤差 ( $'_{CF}$ ) と、前記測定重量 ( $W$ ) の相対誤差 ( $'_W$ ) とを重畠することにより前記放射能濃度 ( $D$ ) の相対誤差 ( $'_D$ ) を算定する誤差算定工程と、

前記放射能濃度 ( $D$ ) の相対誤差 ( $'_D$ ) に基づく不確定性を考慮して前記放射能濃度 ( $D$ ) を評価する評価工程とを含み、

前記誤差算定工程は、

10

前記グロス計数率 ( $C_G$ ) の測定に含まれる複数の誤差要因に起因する複数のグロス誤差を重畠することにより、前記グロス計数率 ( $C_G$ ) の誤差 ( $'_{CG}$ ) を算定するグロス誤差算定工程と、

前記測定 BG 計数率 ( $C_{BG0}$ ) の測定及び前記推定 BG 計数率 ( $C_{BG}$ ) の推定に含まれる複数の誤差要因に起因する複数の BG 誤差を重畠することにより、前記推定 BG 計数率 ( $C_{BG}$ ) の誤差 ( $'_{CBG}$ ) を算定する BG 誤差算定工程と、

前記グロス計数率 ( $C_G$ ) の誤差 ( $'_{CG}$ ) と、前記推定 BG 計数率 ( $C_{BG}$ ) の誤差 ( $'_{CBG}$ ) とを重畠することにより得られる正味計数率 ( $C_n$ ) の誤差 ( $'_{Cn}$ ) に基づいて、前記正味計数率 ( $C_n$ ) の相対誤差 ( $'_{Cn}$ ) を算定する正味計数率誤差工程とを含む、ことを特徴とする。

20

#### 【0007】

上記複数の BG 誤差は、少なくとも、

前記 BG 計数率 ( $C_{BG}$ ) の測定が行われる作業環境における雰囲気放射線量の変動に起因する誤差を含む、ことを特徴とする。

#### 【0008】

上記複数のグロス誤差は、少なくとも、

走査型の前記放射線測定装置により前記測定対象物が走査されるときの走査速度の変動に起因する誤差を含む、ことを特徴とする。

#### 【0009】

また、本発明の一実施形態に係る放射能評価プログラムは、

30

コンピュータに、上記放射能評価方法に含まれる各工程を実行させる、ことを特徴とする。

#### 【0010】

また、本発明の一実施形態に係る放射能評価装置は、

上記放射能評価方法に含まれる各工程を実行する放射能評価処理部を備える、ことを特徴とする。

#### 【発明の効果】

#### 【0011】

本発明の一実施形態に係る放射能評価方法、放射能評価プログラム及び放射能評価装置によれば、放射能濃度 ( $D$ ) の相対誤差 ( $'_D$ ) を算定する誤差算定工程 (S5) が、  
グロス計数率 ( $C_G$ ) の測定に含まれる複数の誤差要因に起因する複数のグロス誤差を重畠することにより、グロス計数率 ( $C_G$ ) の誤差 ( $'_{CG}$ ) を算定するグロス誤差算定工程 (S51) と、測定 BG 計数率 ( $C_{BG0}$ ) の測定及び推定 BG 計数率 ( $C_{BG}$ ) の推定に含まれる複数の誤差要因に起因する複数の BG 誤差を重畠することにより、推定 BG 計数率 ( $C_{BG}$ ) の誤差 ( $'_{CBG}$ ) を算定する BG 誤差算定工程 (S52) と、グロス計数率 ( $C_G$ ) の誤差 ( $'_{CG}$ ) と、推定 BG 計数率 ( $C_{BG}$ ) の誤差 ( $'_{CBG}$ ) とを重畠することにより得られる正味計数率 ( $C_n$ ) の誤差 ( $'_{Cn}$ ) に基づいて、正味計数率 ( $C_n$ ) の相対誤差 ( $'_{Cn}$ ) を算定する正味計数率誤差工程 (S53) とを含む。

40

#### 【0012】

したがって、グロス計数率 ( $C_G$ ) の測定に含まれる複数の誤差要因に起因する複数の

50

グロス誤差と、測定 BG 計数率 ( $C_{BG0}$ ) の測定及び推定 BG 計数率 ( $C_{BG}$ ) の推定に含まれる複数の誤差要因に起因する複数の BG 誤差とに基づく不確実性が考慮されて、測定対象物の放射能濃度 (D) が評価されるので、評価の保守性の観点から放射能濃度を適切に評価することができる。

【図面の簡単な説明】

【0013】

【図1】本発明の実施形態に係る放射能評価方法を適用した放射能評価システム1の一例を示す全体構成図である。

10

【図2】本発明の実施形態に係る放射能評価方法を適用した放射能評価システム1の一例を示すブロック図である。

【図3】本発明の実施形態に係る放射能評価方法の一例を示すフローチャートである。

【発明を実施するための形態】

【0014】

以下、本発明の一実施形態について添付図面を参照しつつ説明する。

【0015】

図1は、本発明の実施形態に係る放射能評価方法を適用した放射能評価システム1の一例を示す全体構成図である。図2は、本発明の実施形態に係る放射能評価方法を適用した放射能評価システム1の一例を示すブロック図である。

【0016】

20

放射能評価システム1は、測定対象物10から放射される放射線を計数率として測定する走査型の放射線測定装置2と、放射線測定装置2により測定された計数率に基づいて、測定対象物10の放射能濃度を評価する放射能評価装置3とを備える。放射線測定装置2と放射能評価装置3との間は、有線又は無線のネットワーク4を介して接続されている。

【0017】

測定対象物10は、例えば、原子炉施設で使用された各種の構造材であり、タービン設備の湿分分離器及びドレンタンク、復水器設備の主復水器及び空気抽出器、給水系設備の給水加熱器及び復水脱塩装置等が挙げられる。なお、測定対象物10は、原子炉施設以外で使用されたものでもよく、上記の例に限られない。

【0018】

30

(放射線測定装置2の構成)

放射線測定装置2は、測定対象物10を載置可能なトレイ11を水平方向(走査方向S)に搬送する搬送コンベア20と、搬送コンベア20の中流部分に配置されて、トレイ11上に載置された測定対象物10が内部を通過する本体部21と、搬送コンベア20の上流側に配置されて、測定対象物10の重量及び高さをそれぞれ測定する重量測定器22及び形状測定器23と、本体部21の内部において測定対象物10から放射される放射線を測定する放射線測定部24と、放射線測定装置2の各部を制御する制御盤25と、タッチパネル、ボタン等により構成される操作表示盤26と、各種の外部機器やネットワーク4との通信インターフェースである通信部27とを備える。

【0019】

40

搬送コンベア20は、搬送モータにより搬送ローラを回転駆動させることで、トレイ11を所定の搬送速度(走査速度)で搬送する。本体部21は、カバーとして機能する箱状の筐体で構成されている。

【0020】

重量測定器22は、例えば、ロードセル等で構成されており、トレイ11上に載置された測定対象物10の重量を測定する。形状測定器23は、例えば、光学式センサやカメラ等で構成されており、測定対象物10の形状として、高さ、幅、奥行等を測定する。なお、形状測定器23は、測定対象物10の形状として、例えば、高さだけを測定するものでもよい。

【0021】

50

放射線測定部24は、搬送コンベア20の上側に配置された上側検出器群24Aと、搬

送コンベア 2 0 の下側に配置された下側検出器群 2 4 B とを備える。上側検出器群 2 4 A 及び下側検出器群 2 4 B の各々は、搬送コンベア 2 0 の搬送方向（走査方向 S ）に直交する方向に所定の間隔を空けるように並設された複数（本実施形態では、上下それぞれ「4 つ」とする。）の検出器 2 4 0 を備える。

#### 【0 0 2 2】

検出器 2 4 0 の各々は、例えば、プラスチックシンチレーション式の検出器で構成されており、搬送コンベア 2 0 によりトレイ 1 1 が所定の走査速度で本体部 2 1 の内部に搬送された状態において当該トレイ 1 1 上の測定対象物 1 0 から放射される放射線量（線）を、グロス計数率として測定する。また、検出器 2 4 0 は、本体部 2 1 の内部に測定対象物 1 0 が存在しない状態において、放射線測定装置 2 が設置された作業環境における雰囲気放射線量を、バックグラウンド計数率（以下、「BG 計数率」という。）として測定する。

10

#### 【0 0 2 3】

制御盤 2 5 は、操作表示盤 2 6 を介して操作者の操作を受け付けるとともに、当該操作に応じて放射線測定装置 2 の各部に対して動作指令を送る。また、制御盤 2 5 は、測定対象物 1 0 の測定結果として、例えば、重量測定器 2 2 により測定された測定対象物 1 0 の重量、形状測定器 2 3 により測定された測定対象物 1 0 の高さ、及び、放射線測定部 2 4 により測定された測定対象物 1 0 のグロス計数率等を取得する。

20

#### 【0 0 2 4】

##### （放射能評価装置 3 の構成）

放射能評価装置 3 は、放射線測定装置 2 による測定対象物 1 0 の測定結果に基づいて、測定対象物 1 0 の放射能濃度を評価する装置である。放射能評価装置 3 は、例えば、汎用のコンピュータで構成されており、入力画面を介して各種の入力を受け付けるとともに、表示画面や音声を介して各種の情報（例えば、放射線測定装置 2 による測定結果や、後述する放射能評価方法に基づく各種の評価結果等）を出力する。

#### 【0 0 2 5】

なお、本実施形態では、放射能評価装置 3 は、放射線測定装置 2 と別体の装置であるものとして説明するが、放射能評価装置 3 は、放射線測定装置 2 と一緒に構成されており、例えば、制御盤 2 5 の一部として組み込まれてもよい。

30

#### 【0 0 2 6】

放射能評価装置 3 は、図 2 に示すように、キーボード、タッチパネル等により構成される入力部 3 0 と、HDD、メモリ等により構成される記憶部 3 1 と、CPU 等のプロセッサにより構成される制御部 3 2 と、各種の外部機器やネットワーク 4 との通信インターフェースである通信部 3 3 と、ディスプレイ、スピーカ等により構成される出力部 3 4 とを備える。

#### 【0 0 2 7】

記憶部 3 1 には、放射線測定装置 2 による測定対象物 1 0 の測定結果（グロス計数率、重量、高さ等）を示す測定対象物測定データ 3 1 0 と、放射線測定装置 2 による環境の測定結果（BG 計数率）を示す BG 測定データ 3 1 1 と、測定対象物測定データ 3 1 0 及び BG 測定データ 3 1 1 から放射能濃度を算定するために必要な各種の係数、条件、算定式等を含む評価用パラメータ 3 1 2 と、放射能評価装置 3 の動作を制御する放射能評価プログラム 3 1 3 とが記憶されている。

40

#### 【0 0 2 8】

制御部 3 2 は、放射能評価プログラム 3 1 3 を実行することにより、本発明の実施形態に係る放射能評価方法に含まれる各工程（図 3 に示すフローチャートの各ステップ参照。詳細は後述する。）に従って動作する放射能評価処理部 3 2 0 として機能する。

#### 【0 0 2 9】

##### （放射能評価方法）

図 3 は、本発明の実施形態に係る放射能評価方法の一例を示すフローチャートである。放射能評価装置 3 の放射能評価処理部 3 2 0 は、図 3 に示すフローチャートの各工程（ス

50

ステップ)に従って動作することにより、放射能評価方法に基づいて測定対象物10の放射能濃度を評価する。

#### 【0030】

##### (1) BG測定工程(ステップS1)について

まず、BG測定工程(ステップS1)では、測定対象物10が本体部21の内部に存在しない状態において、放射線測定装置2が、BG計数率(以下、「測定BG計数率」という。)  $C_{BG0}$ を測定する。そして、放射能評価処理部320は、その測定結果である測定BG計数率  $C_{BG0}$ をBG測定データ311に記憶する。

#### 【0031】

なお、BG測定工程(ステップS1)による測定BG計数率  $C_{BG0}$ の測定は、測定対象物10の測定(後述するステップS2以降の工程)が行われる直前(直後でもよい。)だけでなく、測定対象物10の測定が行われないタイミングにおいても定期的(例えば、8時間毎、1日毎、1週間毎等)に実行される。そして、その測定結果についても、測定時刻と関連付けるようにして測定BG計数率  $C_{BG0}$ としてBG測定データ311に記憶される。これにより、放射線測定装置2が設置された作業環境における雰囲気放射線量を示すBG計数率  $C_{BG0}$ が、BG測定データ311に隨時蓄積される。

10

#### 【0032】

##### (2) 測定対象物測定工程(ステップS2)について

次に、測定対象物測定工程(ステップS2)では、測定対象物10がトレイ11上に載置された状態において、放射線測定装置2が、トレイ11上の測定対象物10の重量W及び高さH等を測定する。また、放射線測定装置2が、搬送コンベア20によりトレイ11を所定の走査速度で搬送しながら、上側検出器群24A及び下側検出器群24Bによりトレイ11上の測定対象物10を走査することにより、測定対象物10のグロス計数率  $C_G$ を測定する。そして、放射能評価処理部320は、それらの測定結果を測定対象物測定データ310として記憶する。

20

#### 【0033】

##### (3) 正味計数率算定工程(ステップS3)について

次に、正味計数率算定工程(ステップS3)では、放射能評価処理部320が、BG測定データ311(測定BG計数率  $C_{BG0}$ )と、測定対象物測定データ310(グロス計数率  $C_G$ 、測定重量W、測定高さH)とに基づいて、正味計数率  $C_n$ を算定する。以下に、正味計数率  $C_n$ の算定方法について説明する。

30

#### 【0034】

測定対象物10が本体部21の内部に存在しない状態で測定された測定BG計数率  $C_B$ から、測定対象物10の重量W及び高さHを指標にして、測定対象物10がトレイ11上に載置されて本体部21の内部に存在する状態におけるBG計数率(以下、「推定BG計数率」という。)  $C_{BG}$ を、下記(1)式により推定する。

#### 【0035】

##### 【数1】

$$C_{BG} = F_H \times F_W \times C_{BG0} \quad \cdots (1)$$

ここで、

$C_{BG}$  : 測定対象物が存在する状態でのBG計数率として推定された推定BG計数率 [cps]

$C_{BG0}$  : 測定対象物が存在しない状態で測定された測定BG計数率 [cps]

$F_W$  : BG計数率に係る重量補正係数

$F_H$  : BG計数率に係る高さ補正係数

である。

#### 【0036】

そして、グロス計数率  $C_G$ と、推定BG計数率  $C_{BG}$ との差分として、測定対象物10

50

の正味計数率  $C_n$  を下記の(2)式により算定する。

【0037】

【数2】

$$C_n = C_G - C_{BG} \quad \dots (2)$$

ここで

$C_n$  : 正味計数率 [cps]

$C_G$  : グロス計数率 [cps]

$C_{BG}$  : 推定BG計数率 [cps]

である。

【0038】

(4) 放射能濃度算定工程(ステップS4)について

次に、放射能濃度算定工程(ステップS4)では、測定対象物10の正味計数率  $C_n$  と、正味計数率  $C_n$  を放射能濃度  $D$  に変換する換算係数  $CF$  と、測定対象物10の重量  $W$  とに基づいて、単位重量当たりの放射能濃度  $D$  を下記の(3)式により算定する。

【0039】

【数3】

$$D = \frac{C_n \times CF}{W} \quad \dots (3)$$

ここで、

$D$  : 放射能濃度 [Bq/g]

$C_n$  : 正味計数率 [cps]

$CF$  : 放射能濃度換算に係る係数 [Bq/cps]

$W$  : 対象物の重量 [g]

である。

30

【0040】

(5) 誤差算定工程(ステップS5)について

誤差算定工程(ステップS5)では、正味計数率  $C_n$  の相対誤差 ' $\sigma'_{Cn}$ ' と、換算係数  $CF$  の相対誤差 ' $\sigma'_{CF}$ ' と、測定重量  $W$  の相対誤差 ' $\sigma'_{W}$ ' を重畳することにより、放射能濃度  $D$  の相対誤差 ' $\sigma'_{D}$ ' を下記の(4)式により算定する。

【0041】

【数4】

$$\sigma'_{D} = \sqrt{\sigma'^2_{Cn} + \sigma'^2_{CF} + \sigma'^2_{W}} \quad \dots (4)$$

ここで、

$\sigma'_{D}$  : 放射能濃度  $D$  の相対誤差

$\sigma'_{Cn}$  : 正味計数率  $C_n$  の相対誤差

$\sigma'_{CF}$  : 換算係数  $CF$  の相対誤差

$\sigma'_{W}$  : 測定重量  $W$  の相対誤差

である。

【0042】

ここで、上記の(4)式において、換算係数  $CF$  の相対誤差 ' $\sigma'_{CF}$ '、及び、測定重量  $W$  の相対誤差 ' $\sigma'_{W}$ ' は既知の方法で算定されるものとすると、正味計数率  $C_n$  の相対誤差

50

$'_{C_n}$  を算定することで放射能濃度 D の相対誤差  $'_D$  が求められる。その際、正味計数率  $C_n$  を算定するまでの各プロセスが有する不確定性として、グロス計数率  $C_G$  の測定プロセスには、複数の誤差要因に起因する複数のグロス誤差が含まれ、測定 BG 計数率  $C_{BG}$  の測定プロセス及び推定 BG 計数率  $C_{BG}$  の推定プロセスには、複数の誤差要因に起因する複数の BG 誤差が含まれる。そのため、正味計数率  $C_n$  の相対誤差  $'_{C_n}$  は、複数のグロス誤差及び複数の BG 誤差をそれぞれ考慮して算出することが必要となる。以下に、正味計数率  $C_n$  の相対誤差  $'_{C_n}$  の算定方法について説明する。

#### 【0043】

まず、正味計数率  $C_n$  は、上記の(2)式に示す算定式で求められることから、正味計数率  $C_n$  の誤差  $'_{C_n}$  は、下記の(5)式により算定される。

10

#### 【0044】

#### 【数5】

$$\sigma_{C_n} = \sqrt{\sigma_{C_G}^2 + \sigma_{C_{BG}}^2} \quad \cdots (5)$$

ここで、

$\sigma_{C_n}$  : 正味計数率  $C_n$  の誤差

$\sigma_{C_G}$  : グロス計数率  $C_G$  の誤差

$\sigma_{C_{BG}}$  : 推定 BG 計数率  $C_{BG}$  の誤差

である。

#### 【0045】

そして、上記の(5)式で示す正味計数率  $C_n$  の誤差  $'_{C_n}$  を算定するため、(5)式の右辺第1項に示すグロス計数率  $C_G$  の誤差  $'_{C_G}$  と、(5)式の右辺第2項に示す推定 BG 計数率  $C_{BG}$  の誤差  $'_{C_{BG}}$  の算定方法についてそれぞれ説明する。

#### 【0046】

##### (5.a) グロス計数率 $C_G$ の誤差 $'_{C_G}$ の算定

グロス誤差算定工程(ステップ S51)では、グロス計数率  $C_G$  の測定に含まれる複数の誤差要因に起因する複数のグロス誤差を重畳することにより、グロス計数率  $C_G$  の誤差  $'_{C_G}$  を算定する。

30

#### 【0047】

走査型の放射線測定装置2により測定対象物10が走査されるときの走査速度、すなわち、測定対象物10が載置されたトレイ11を搬送する搬送コンベア20の搬送速度(走査速度)に変動(ばらつき)が存在する場合、測定対象物10の測定結果として得られるグロス計数率  $C_G$  に一定の影響が生じるため、正味計数率  $C_n$  もその影響を受ける。したがって、グロス計数率  $C_G$  の誤差  $'_{C_G}$  は、グロス誤差として、少なくとも、走査速度に起因するグロス計数率  $C_G$  の相対誤差  $'_f$  を含み、その他のグロス誤差として、検出器240に起因するグロス計数率  $C_G$  の相対誤差  $'_{CG}$  をさらに含むものである。そのため、グロス計数率  $C_G$  の誤差  $'_{C_G}$  は、これらの合成誤差であると捉えることができ、下記の(6)式により複数のグロス誤差を重畳することにより算定される。

40

#### 【0048】

## 【数6】

$$\sigma_{C_G} = C_G \times \sqrt{\sigma'_{C_G}^2 + \sigma'_{f}^2} \quad \cdots (6)$$

ここで、

$\sigma_{C_G}$  : グロス計数率  $C_G$  の誤差

$C_G$  : グロス計数率 [cps]

$\sigma'_{C_G}$  : 検出器に起因するグロス計数率  $C_G$  の相対誤差

$\sigma'_{f}$  : 走査速度に起因するグロス計数率  $C_G$  の相対誤差

である。

## 【0049】

上記の(6)式に含まれる、検出器240に起因するグロス計数率  $C_G$  の相対誤差  $\sigma'_{C_G}$  は、下記の(7)式で算定される。

## 【0050】

## 【数7】

$$\begin{aligned}\sigma'_{C_G} &= \frac{\sigma_{C_G}}{C_G} \\ &= \frac{\sqrt{C_G \times d \times t_1}}{C_G \times d \times t_1} \quad \cdots (7)\end{aligned}$$

ここで、

$\sigma'_{C_G}$  : グロス計数率  $C_G$  の相対誤差

$d$  : 検出器個数

$t_1$  : グロス計数率測定時間 [s]

である。

## 【0051】

30

上記の(7)式を踏まえると、上記の(6)式は、下記の(8)式に再整理される。したがって、グロス計数率  $C_G$  の誤差  $\sigma_{C_G}$  は、下記の(8)式により算定される。

## 【0052】

## 【数8】

$$\sigma_{C_G} = C_G \times \sqrt{\left(\frac{\sqrt{C_G \times d \times t_1}}{C_G \times d \times t_1}\right)^2 + \sigma'_{f}^2} \quad \cdots (8)$$

ここで、

$\sigma_{C_G}$  : グロス計数率  $C_G$  の誤差

$C_G$  : グロス計数率 [cps]

$d$  : 検出器個数

$t_1$  : グロス計数率測定時間 [s]

$\sigma'_{f}$  : 走査速度に起因するグロス計数率  $C_G$  の相対誤差

である。

## 【0053】

(5.b) 推定BG計数率  $C_{BG}$  の誤差  $\sigma_{C_{BG}}$  の算定

50

B G 誤差算定工程（ステップ S 5 2）では、測定 B G 計数率  $C_{BG0}$  の測定及び推定 B G 計数率  $C_{BG}$  の推定に含まれる複数の誤差要因に起因する複数の B G 誤差を重畳することにより、推定 B G 計数率  $C_{BG}$  の誤差  $\sigma_{C_{BG}}$  を算定する。

#### 【0054】

放射線測定装置 2 が設置された作業環境における雰囲気放射線量に変動（ばらつき）が存在する場合、作業環境の雰囲気放射線量の測定結果である測定 B G 計数率  $C_{BG0}$  から推定される推定 B G 計数率  $C_{BG}$  に一定の影響が生じるため、正味計数率  $C_n$  もその影響を受ける。したがって、推定 B G 計数率  $C_{BG}$  の誤差  $\sigma_{C_{BG}}$  は、B G 誤差として、少なくとも、放射線測定装置 2 が設置された作業環境における雰囲気放射線量の変動に起因する推定 B G 計数率  $C_{BG}$  の相対誤差  $'_{E_{BG}}$  を含み、その他の B G 誤差として、測定対象物 10 の存在（重量や高さ）に起因する推定 B G 計数率  $C_{BG}$  の誤差や、検出器 240 に起因する測定 B G 計数率  $C_{BG0}$  の相対誤差  $'_{C_{BG0}}$  をさらに含むものである。そのため、推定 B G 計数率  $C_{BG}$  の誤差  $\sigma_{C_{BG}}$  は、これらの合成誤差であると捉えることができ、上記の（1）式を踏まえると、下記の（9）式により複数の B G 誤差を重畳することにより算定される。10

#### 【0055】

##### 【数9】

$$\sigma_{C_{BG}} = C_{BG} \times \sqrt{\left(\frac{\sigma_{F_H}}{F_H}\right)^2 + \left(\frac{\sigma_{F_W}}{F_W}\right)^2 + \sigma'_{C_{BG0}}^2 + \sigma'_{E_{BG}}^2} \quad \cdots (9)$$

ここで、

$\sigma_{C_{BG}}$ ：推定 B G 計数率  $C_{BG}$  の誤差

$C_{BG}$ ：推定 B G 計数率 [cps]

$\sigma_{F_H}$ ：高さ補正係数の誤差

$\sigma_{F_W}$ ：重量補正係数の誤差

$\sigma'_{C_{BG0}}$ ：検出器に起因する測定 B G 計数率  $C_{BG0}$  の相対誤差

$\sigma'_{E_{BG}}$ ：作業環境における雰囲気放射線量の変動に起因する推定 B G 計数率  $C_{BG}$  の相対誤差である。

#### 【0056】

上記の（9）式に含まれる、作業環境における雰囲気放射線量の変動に起因する推定 B G 計数率  $C_{BG}$  の相対誤差  $'_{E_{BG}}$  は、例えば、所定の期間（例えば、1年間）を通して定期的に測定されて、B G 測定データ 311 として蓄積された測定 B G 計数率  $C_{BG0}$  の統計値（例えば、平均値）として求められる。

#### 【0057】

また、上記の（9）式に含まれる、検出器 240 に起因する測定 B G 計数率  $C_{BG0}$  の相対誤差  $'_{C_{BG0}}$  は、下記の（10）式で算定される。

#### 【0058】

## 【数10】

$$\begin{aligned}\sigma'_{C_{BG0}} &= \frac{\sigma_{C_{BG0}}}{C_{BG0}} \\ &= \frac{\sqrt{C_{BG0} \times d \times t_2}}{C_{BG0} \times d \times t_2} \quad \cdots (10)\end{aligned}$$

ここで、

$\sigma'_{C_{BG0}}$ ：測定BG計数率 $C_{BG0}$ の相対誤差

$d$ ：検出器個数

$t_2$ ：BG計数率測定時間 [s]

である。

## 【0059】

さらに、専用測定器を用いた評価に際しては、重量や高さの異なる模擬対象物を載せた状態で当該模擬対象物の自己遮へい等を勘案することで、BG計数率に係る変動を評価しており、その評価結果として「BG変動に起因する相対誤差 $r_1$ 」で求められることが知られている（「日本原子力学会標準 クリアランスの判断方法（2005）」，社団法人日本原子力学会，2005年8月，第84頁 - 第85頁参照。）。

## 【0060】

20

そのため、上記の(9)式の右辺において、高さ補正係数の誤差及び重量補正係数の誤差を示す項は、下記の(11)式により近似するものとする。

## 【0061】

## 【数11】

$$\left(\frac{\sigma_{F_H}}{F_H}\right)^2 + \left(\frac{\sigma_{F_W}}{F_W}\right)^2 \approx (r_1)^2 \quad \cdots (11)$$

## 【0062】

上記の(10)式及び(11)式を踏まえると、上記の(9)式は、下記の(12)式に再整理される。したがって、推定BG計数率 $C_{BG}$ の誤差 $\sigma_{C_{BG}}$ は、下記の(12)式により算定される。

30

## 【0063】

## 【数12】

$$\sigma_{C_{BG}} \approx C_{BG} \times \sqrt{(r_1)^2 + \left(\frac{\sqrt{C_{BG0} \times d \times t_2}}{C_{BG0} \times d \times t_2}\right)^2 + (\sigma'_{E_{BG}})^2} \quad \cdots (12)$$

ここで、

$\sigma_{C_{BG}}$ ：推定BG計数率 $C_{BG}$ の誤差

$C_{BG0}$ ：測定対象物が存在しない状態で測定された測定BG計数率 [cps]

$C_{BG}$ ：測定対象物が存在する状態でのBG計数率として推定された推定BG計数率 [cps]

$r_1$ ：BG変動に起因する相対誤差

$d$ ：検出器個数

$t_2$ ：BG計数率測定時間 [s]

$\sigma'_{E_{BG}}$ ：作業環境における雰囲気放射線量の変動に起因する推定BG計数率 $C_{BG}$ の相対誤差である。

**【0064】**

(5.c) 正味計数率  $C_n$  の誤差  $\sigma_{C_n}$  の算定

正味計数率誤差工程(ステップS53)では、グロス計数率  $C_G$  の誤差  $\sigma_{C_G}$  と、推定BG計数率  $C_{BG}$  の誤差  $\sigma_{C_{BG}}$  を重畠することにより正味計数率  $C_n$  の誤差  $\sigma_{C_n}$  を算定し、正味計数率  $C_n$  の誤差  $\sigma_{C_n}$  を正味計数率  $C_n$  で除算することにより正味計数率  $C_n$  の相対誤差  $\sigma'_{C_n}$  を算定する。

**【0065】**

正味計数率  $C_n$  の誤差  $\sigma_{C_n}$  は、上記の(5)式で算定される。したがって、上記の(5)式において、グロス計数率  $C_G$  の誤差  $\sigma_{C_G}$  に上記の(8)式の解を代入するとともに、推定BG計数率  $C_{BG}$  の誤差  $\sigma_{C_{BG}}$  に上記の(12)式の解を代入することで、正味計数率  $C_n$  の誤差  $\sigma_{C_n}$  が算定される。10

**【0066】**

さらに、上記の(5)式で算定された正味計数率  $C_n$  の誤差  $\sigma_{C_n}$  を正味計数率  $C_n$  で除算することにより、正味計数率  $C_n$  の相対誤差  $\sigma'_{C_n}$  を下記の(13)式により算定する。

**【0067】****【数13】**

$$\sigma'_{C_n} = \frac{\sigma_{C_n}}{C_n} \quad \cdots (13)$$

**【0068】**

(5.d) 放射能濃度Dの相対誤差  $\sigma'_D$  の算定

放射能濃度誤差算定工程(ステップS54)では、下記の(14)式(上記の(4)式と同一である。)の右辺に対して、上記の(13)式の解である正味計数率  $C_n$  の相対誤差  $\sigma'_{C_n}$  と、既知の換算係数  $C_F$  の相対誤差  $\sigma'_{CF}$  と、既知の測定重量Wの相対誤差  $\sigma'_{W}$  を代入することにより、放射能濃度Dの相対誤差  $\sigma'_D$  を算定する。

**【0069】****【数14】**

$$\sigma'_D = \sqrt{\sigma'_{C_n}^2 + \sigma'_{CF}^2 + \sigma'_{W}^2} \quad \cdots (14)$$

ここで、

$\sigma'_{C_n}$  : 正味計数率  $C_n$  の相対誤差 ( (13) 式により算定)

$\sigma'_{CF}$  : 換算係数  $C_F$  の相対誤差 (既知)

$\sigma'_{W}$  : 測定重量Wの相対誤差 (既知)

である。

**【0070】**

(6) 評価工程(ステップS6)について40

評価工程(ステップS6)では、上記の(3)式の解である放射能濃度Dの相対誤差  $\sigma'_D$  に基づく不確定性を考慮して、上記の(3)式の解である放射能濃度Dを評価する。

**【0071】**

まず、安全率算定工程(ステップS61)では、放射能濃度Dの相対誤差  $\sigma'_D$  に基づいて、安全率  $F_s$  を下記の(15)式により算定する。

**【0072】**

上述したように、放射能濃度Dの相対誤差  $\sigma'_D$  は、上記の(14)式において、正味計数率  $C_n$  の相対誤差  $\sigma'_{C_n}$  に上記の(13)式の解を代入することで、放射能濃度Dの相対誤差  $\sigma'_D$  が算定される。したがって、放射線測定装置2により測定された放射能

濃度 D における不確定性として、放射能濃度 D の相対誤差  $\sigma'_{\text{D}}$  に対する所定の安全係数 k ( 例えは、k = 3 の場合、3 に相当する。 ) を乗算することにより評価の保守性を担保するため、必要となる安全率  $F_s$  は、下記の ( 15 ) 式で算定される。

【 0 0 7 3 】

【 数 1 5 】

$$(1 - k \times \sigma'_{\text{D}}) \times F_s \geq 1$$

$$F_s \geq \frac{1}{1 - k \times \sigma'_{\text{D}}} \quad \cdots (15)$$

ここで、

$\sigma'_{\text{D}}$  : 放射能濃度 D の相対誤差

k : 安全係数

$F_s$  : 安全率

である。

【 0 0 7 4 】

次に、判定工程 ( ステップ S 6 2 ) では、上記の ( 3 ) 式の解である放射能濃度 D に安全率  $F_s$  を乗算することで放射能濃度の評価値  $D_L$  を算定し、当該評価値  $D_L$  が、所定の評価基準値 L 以下であるか否かを判定し、下記の ( 16 ) 式が成立する場合、測定対象物 10 の放射能濃度 D は、評価基準値 L をクリアしていると判定する。

20

【 0 0 7 5 】

【 数 1 6 】

$$D_L = D \times F_s \leq L \quad \cdots (16)$$

ここで、

$D_L$  : 放射能濃度の評価値 [Bq/g]

D : 放射能濃度 [Bq/g]

$F_s$  : 安全率

L : 評価基準値

である。

【 0 0 7 6 】

以上のように、本実施形態に係る放射能評価方法、放射能評価プログラム及び放射能評価装置によれば、放射能濃度 D の相対誤差  $\sigma'_{\text{D}}$  を算定する誤差算定工程 ( ステップ S 5 ) が、グロス計数率  $C_G$  の測定に含まれる複数の誤差要因に起因する複数のグロス誤差を重畳することにより、グロス計数率  $C_G$  の誤差  $\sigma_{C_G}$  を算定するグロス誤差算定工程 ( ステップ S 5 1 ) と、測定 BG 計数率  $C_{BG_0}$  の測定及び推定 BG 計数率  $C_{BG}$  の推定に含まれる複数の誤差要因に起因する複数の BG 誤差を重畳することにより、推定 BG 計数率  $C_{BG}$  の誤差  $\sigma_{C_{BG}}$  を算定する BG 誤差算定工程 ( ステップ S 5 2 ) と、グロス計数率  $C_G$  の誤差  $\sigma_{C_G}$  と、推定 BG 計数率  $C_{BG}$  の誤差  $\sigma_{C_{BG}}$  とを重畳することにより得られる正味計数率  $C_n$  の誤差  $\sigma_{C_n}$  に基づいて、正味計数率  $C_n$  の相対誤差  $\sigma'_{C_n}$  を算定する正味計数率誤差工程 ( ステップ S 5 3 ) とを含む。

40

【 0 0 7 7 】

したがって、グロス計数率  $C_G$  の測定に含まれる複数の誤差要因に起因する複数のグロス誤差と、測定 BG 計数率  $C_{BG_0}$  の測定及び推定 BG 計数率  $C_{BG}$  の推定に含まれる複数の誤差要因に起因する複数の BG 誤差とに基づく不確実性が考慮されて、測定対象物 10 の放射能濃度 D が評価されるので、評価の保守性の観点から放射能濃度を適切に評価することができる。

【 0 0 7 8 】

50

### (他の実施形態)

以上、本発明の実施形態について説明したが、本発明は上記実施形態に限定されるものではなく、本発明の技術的思想を逸脱しない範囲で適宜変更可能である。

#### 【0079】

なお、本実施形態に係る放射能評価方法は、評価に係る目的や用途が特に限られるものでなく、例えば、上記の(16)式において評価基準値 $L$ をクリアランス基準値 $C$ として、原子炉施設で使用された構造材のクリアランス評価に適用することができる。その際、原子炉施設の型式は、任意の種類でよく、例えば、減速材に重水、冷却材に軽水を用いた重水減速沸騰軽水冷却型の原子炉でもよいし、減速材及び冷却材に軽水を用いた軽水炉（加圧水型（PWR）、沸騰水型（BWR）、改良型沸騰水型炉（ABWR））でもよい。

10

#### 【0080】

また、上記実施形態に係る放射能評価方法は、走査型の放射線測定装置2を対象とした場合について説明したが、他の型式の放射線測定装置を対象としてもよい。例えば、上記実施形態に係る放射能評価方法は、定置型の放射線測定装置を対象としてもよく、その場合には、上記の(6)式、(8)式において、走査速度に起因するグロス計数率 $C_G$ の相対誤差 $\gamma_f$ を考慮することなく、グロス計数率 $C_G$ の誤差 $\epsilon_{C_G}$ を算定すればよい。

20

#### 【0081】

また、上記実施形態に係る放射能評価方法に含まれる各工程（図3参照）を実行する順番は可能な範囲で適宜変更されてもよい。

#### 【0082】

また、上記実施形態では、放射能評価プログラム313は、記憶部31に記憶されたものとして説明したが、インストール可能な形式又は実行可能な形式のファイルでCD-ROM、DVD等のコンピュータで読み取り可能な記録媒体に記録されて提供されてもよい。また、放射能評価プログラム313は、インターネット等のネットワークに接続されたコンピュータ上に格納し、ネットワーク経由でダウンロードされることにより提供されてもよい。

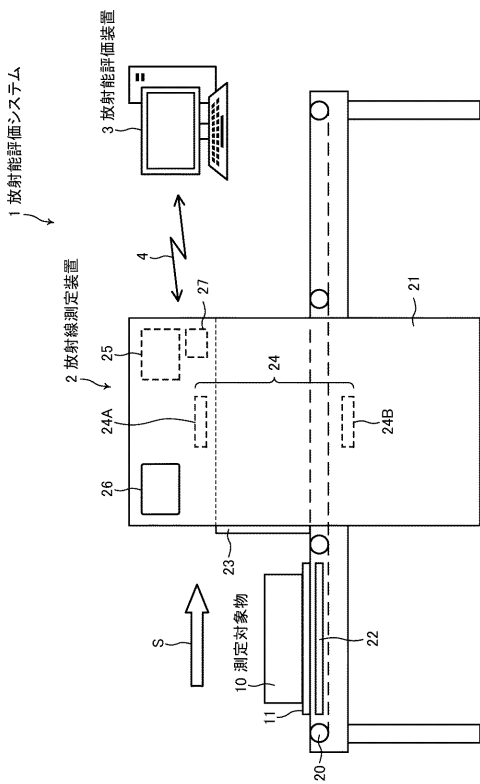
#### 【符号の説明】

#### 【0083】

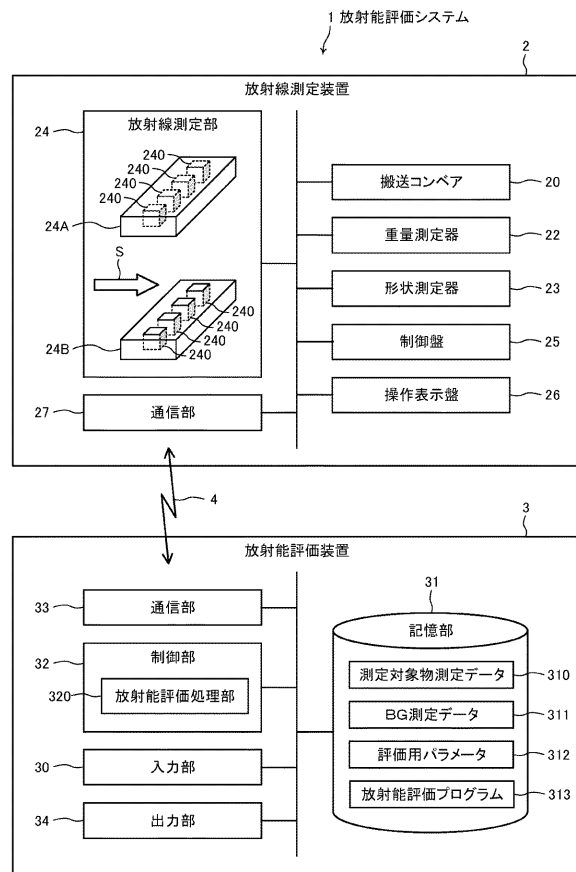
- 1 放射能評価システム、2 放射線測定装置、3 放射能評価装置、
- 4 ネットワーク、10 測定対象物、11 トレイ、
- 20 搬送コンベア、21 本体部、22 重量測定器、23 形状測定器、
- 24 放射線測定部、24A 上側検出器群、24B 下側検出器群、
- 25 制御盤、26 操作表示盤、27 通信部、
- 30 入力部、31 記憶部、32 制御部、33 通信部、34 出力部、
- 240 検出器、310 測定対象物測定データ、311 BG測定データ、
- 312 評価用パラメータ、313 放射能評価プログラム、
- 320 放射能評価処理部

30

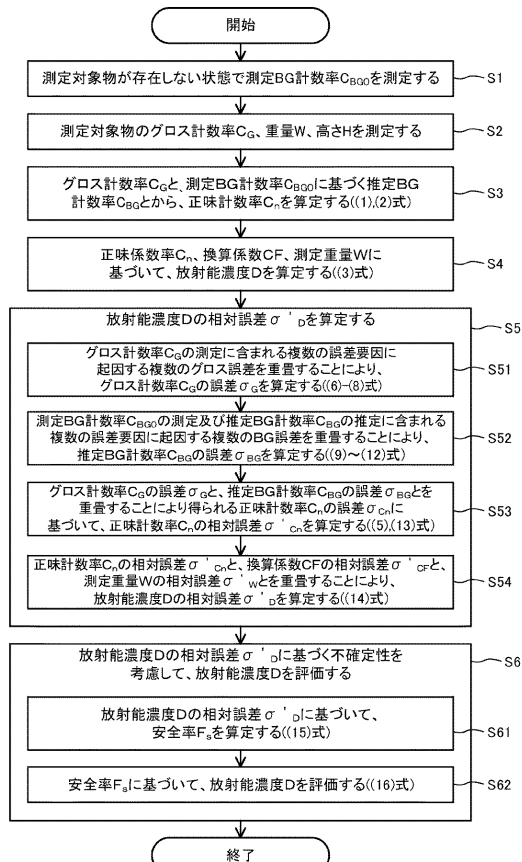
【図1】



【図2】



【図3】



---

フロントページの続き

(72)発明者 山本 耕輔

福井県敦賀市明神町 3 番地 国立研究開発法人日本原子力研究開発機構 新型転換炉原型炉ふげん  
内

(72)発明者 川越 慎司

福井県敦賀市明神町 3 番地 国立研究開発法人日本原子力研究開発機構 新型転換炉原型炉ふげん  
内

(72)発明者 東浦 則和

福井県敦賀市明神町 3 番地 国立研究開発法人日本原子力研究開発機構 新型転換炉原型炉ふげん  
内

(72)発明者 水井 宏之

福井県敦賀市明神町 3 番地 国立研究開発法人日本原子力研究開発機構 新型転換炉原型炉ふげん  
内

F ターム(参考) 2G188 AA07 AA19 AA23 CC10 EE14 EE25 JJ06